Экранирование периодически заряженных плоскости и нити двумерной сверхрешеткой в условиях штарковского квантования

С. Ю. Глазов,* Е. И. Дударева[†]

Волгоградский государственный социально-педагогический университет Россия, 400005, Волгоград, пр. им. В.И. Ленина, д. 27 (Поступила в редакцию 25.07.2025; подписана в печать 01.09.2025)

Изучено влияние постоянного однородного электрического поля на проникновение поля периодически заряженных плоскости и нити в двумерный электронный газ двумерной сверхрешетки. В присутствии постоянного квантующего электрического поля потенциал осциллирует с частотами, кратными штарковской частоте. В случае невырожденного электронного газа найдена амплитуда постоянной составляющей потенциала.

PACS: 73.21.Cd УДК: 537.213, 538.915.

Ключевые слова: двумерная сверхрешетка, штарковская частота, заряженная плоскость, заряженная нить, экранирование.

ВВЕДЕНИЕ

В настоящее время не ослабевает интерес к физическим явлениям в системах с двумерных (2D) электронным газом. Теоретическому исследованию эффектов, связанных с экранированием внешних зарядов в твердотельных структурах, посвящено достаточно большое количество работ [1–10]. Различного рода случайные дефекты, заряженные примесные центры оказывают существенное влияние на электроны в 2D-системах. Плотность состояния 2D-электронов определяется характером неоднородностей, а также экранированием создаваемого ими потенциала [1]. Экранирование поля точечного заряженного центра рассмотрено в [2]. В [3] исследовано влияние однородного высокочастотного поля на экранирование заряда двумерным электронным газом.

Известно [4, 10, 11], что достаточно сильное постоянное электрическое поле вызывает «блоховские» осцилляции электронов, описываемых спектром:

$$\varepsilon(\mathbf{p}) = \Delta - \frac{\Delta}{2} \left(\cos(\frac{p_x d}{\hbar}) + \cos(\frac{p_y d}{\hbar}) \right),$$
(1)

где Δ — полуширина минизоны проводимости, d — период сверхрешетки (CP), p_x , p_y — компоненты квазиммпульса электрона в плоскости CP. В [10] решена задача о влиянии постоянного однородного электрического поля на проникновение поля точечного и пространственно-периодически распределенного заряда в направлении вектора напряженности электрического поля в 2D-электронный газ в системе с периодическим потенциалом. Получены и проанализированы выражения для постоянной составляющей потенциала, при увеличении напряженности постоянного электрического поля выявлено усиление эффекта экранирования. В данной работе решена задача в аналогичной

геометрии для нахождения потенциала поля заряженных объектов: плоскости и нити в произвольной ориентации периодически распределённого заряда.

1. ОСНОВНЫЕ УРАВНЕНИЯ

Будем рассматривать твердотельную структуру, геометрия которой приведена на рис. 1.

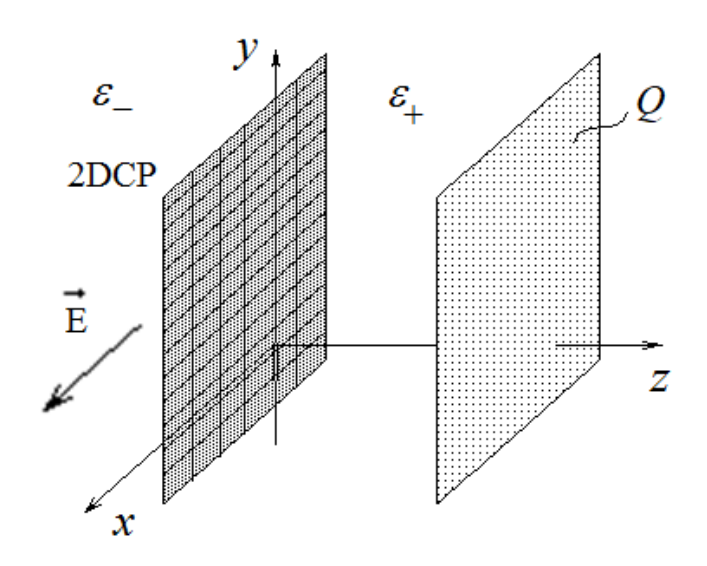


Рис. 1. Геометрия задачи

В плоскости z=0 находится $2\mathrm{D}$ -электронный газ CP, который разделяет пространство на две среды с разными диэлектрическими проницаемостями: для z>0 диэлектрическая постоянная равна ε_+ , для z<0 диэлектрическая постоянная ε_- . В плоскости z=h (h>0) имеется распределение электрического заряда $Q(\rho)$ $(\rho=\{x,y,0\})$. Для определенности на рисунке показана равномерно заряженная плоскость. Постоянное электрическое поле воздействует на $2\mathrm{D}$ -электронный газ CP (вектор напряженности $\mathbf E$ ориентирован вдоль оси OX).

^{*} ser-glazov@yandex.ru

[†] bolhudere2001@mail.ru

Фурье компонента потенциала электрического поля, созданного распределением заряда $Q(\rho)$ в присутствии 2D электронного газа и постоянного электрического поля имеет вид [10]:

$$\tilde{\varphi}(\mathbf{q}, z, t) = \frac{2}{q} \exp[-q(h - z)] \tilde{Q}(\mathbf{q}) \times \times \sum_{n, m} \frac{J_n(z_x) J_m(z_x) \exp[it\Omega(n - m)]}{\varepsilon_+ + \varepsilon_- - \Pi(\mathbf{q}, n\Omega)}, \quad (2)$$

где $J_n(x)$ — функция Бесселя вещественного аргумента, $z_x=\Delta\sin(q_xd/2)/(\hbar\Omega),~\Omega=eEd/\hbar$ — штарковская (блоховская) частота,

$$\Pi(\mathbf{q},\omega) = \frac{4\pi e^2}{q} \sum_{\mathbf{p}} \frac{n_{\mathbf{p}+\mathbf{q}} - n_{\mathbf{p}}}{\Delta \sin(q_y d/2) \sin((p_y + q_y/2)d) - \hbar \omega}$$
(3)

Отметим, что в присутствии постоянного электрического поля экранирующий потенциал осциллирует с частотами, кратными штарковской частоте Ω . Это и есть проявление блоховских осцилляций электронов в минизоне. Для постоянной составляющей потенциала (после усреднения (2) по времени, значительно превышающего период штарковских осцилляций), получим

$$\tilde{\varphi}(\mathbf{q}, z) = \frac{4\pi}{q} \exp[-q(h-z)] \tilde{Q}(\mathbf{q}) \times \sum_{n} \frac{J_{n}^{2}(z_{x})}{\varepsilon_{+} + \varepsilon_{-} - \Pi(\mathbf{q}, n\Omega)}.$$
(4)

Рассмотрим далее невырожденный электронный газ, для которого $n_{\mathbf{p}} \sim \exp((-\varepsilon(p_x,p_y))/T)$, где T — температура в энергетических единицах. Вычисление (3) значительно упрощается в случае высоких температур: $2\Delta \ll T$. При этом в случае $\Omega > \Delta$ получаем следующее выражение [12, 13]:

$$\Pi(\mathbf{q},\omega) = -\frac{(\varepsilon_{+} + \varepsilon_{-})\chi}{q} \left(1 - \frac{|\hbar\omega|}{\sqrt{(\hbar\omega)^{2} - \Delta^{2}\sin^{2}(\frac{q_{y}d}{2})}}\right),\tag{5}$$

где $\chi = 4\pi e^2 N/[(\varepsilon_+ + \varepsilon_-)T], N$ — поверхностная плотность 2D-электронного газа.

Тогда выражение для постоянной составляющей потенциала примет вид:

$$\tilde{\varphi}(\mathbf{q}, z) = \frac{4\pi}{q(\varepsilon_{+} + \varepsilon_{-})} \exp[-q(h - z)] \tilde{Q}(\mathbf{q}) \times \sum_{n} J_{n}^{2}(z_{x}) \frac{1}{1 + \frac{\chi}{q} \left(1 - \frac{|n\hbar\Omega|}{\sqrt{(n\hbar\Omega)^{2} - \Delta^{2} \sin^{2}(\frac{qyd}{2})}}\right)}.$$
(6)

Распределение постоянной части потенциала при z<0 рассчитаем для нескольких случаев: равномерно и периодически заряженной плоскости; равномерно и периодически заряженной нити.

2. ПОТЕНЦИАЛ ЗАРЯЖЕННОЙ ПЛОСКОСТИ

Пусть плотность распределения заряда задана соотношением $Q(\boldsymbol{\rho}) = \sigma_0 \cos(k_x x + k_y y)$, где σ_0 — поверхностная плотность заряда, $\mathbf{k}(k_x,k_y)$ — «волновой» вектор, характеризующий степень модуляции плотности заряда. При этом выражение для Фурье-образа $\tilde{Q}(\mathbf{q})$ имеет вид

$$\tilde{Q}(\mathbf{q}) = \sigma_0 \int \cos(k_x x + k_y y) \exp(-i\mathbf{q}\boldsymbol{\rho}) d\rho.$$
 (7)

Проинтегрировав (7), получим

$$\tilde{Q}(\mathbf{q}) = 2\pi^2 \sigma_0 [\delta(q_x + k_x)\delta(q_y + k_y) + \delta(q_x - k_x)\delta(q_y - k_y)], \tag{8}$$

где $\delta(x)$ — дельта-функция Дирака.

Подставив (8) в (6) и произведя обратное Фурьепреобразование, получим уравнение для распределения потенциала

$$\varphi(\boldsymbol{\rho},z) = \frac{4\pi\sigma_0 \cos(k_x x + k_y y)}{(\varepsilon_+ + \varepsilon_-)} \frac{e^{-\sqrt{k_x^2 + k_y^2}(h - z)}}{\sqrt{k_x^2 + k_y^2}} \times \sum_{n = -\infty}^{\infty} \frac{J_n^2(\frac{\Delta}{\hbar\Omega}\sin(\frac{k_x d}{2}))}{1 + \frac{\chi}{\sqrt{k_x^2 + k_y^2}} \left(1 - \frac{|n\hbar\Omega|}{\sqrt{(n\hbar\Omega)^2 - \Delta^2\sin^2(\frac{k_y d}{2})}}\right)}.$$
(9)

В случае сильных полей $\hbar\Omega\gg\Delta$ выражение (9) значительно упрощается

$$\varphi(\boldsymbol{\rho}, z) = \frac{4\pi\sigma_0 \cos(k_x x + k_y y)}{(\varepsilon_+ + \varepsilon_-)} \frac{e^{-\sqrt{k_x^2 + k_y^2}(h - z)}}{\sqrt{k_x^2 + k_y^2}} \times \left[1 - \frac{\chi}{\chi + \sqrt{k_x^2 + k_y^2}} J_0^2 \left(\frac{\Delta}{\hbar\Omega} \sin\left(\frac{k_x d}{2}\right)\right)\right].$$
(10)

В случае, когда $\chi\gg |k|$ в пределе сильных полей в формуле (10) выражение в квадратных скобках стремится к нулю. Этот случай соответствует эффективному экранированию пространственно-периодически распределенного заряда 2D электронным газом CP в условиях штарковского квантования.

На рис. 2 представлены графики зависимости потенциала от напряженности квантующего электрического поля в безразмерных единицах, построенные по формуле (9) для разных соотношений между параметрами. Из анализа графиков следует, что при увеличении параметра χ (увеличение концентрации носителей заряда, уменьшения температуры) потенциал уменьшается. В случае, когда распределение заряда задано вдоль оси $\mathrm{OX}\ (k_y{=}0)$ из (9) с использованием $\sum_{n=1}^{\infty} J_n^2(x) = 1$,

ОХ
$$(k_y = 0)$$
 из (9) с использованием $\sum_{n = -\infty} J_n^2(x) = 1$ имеем

$$\varphi(\boldsymbol{\rho}, z) = \frac{4\pi\sigma_0 \cos(k_x x)}{(\varepsilon_+ + \varepsilon_-)} \frac{e^{-|k_x|(h-z)}}{|k_x|}.$$
 (11)

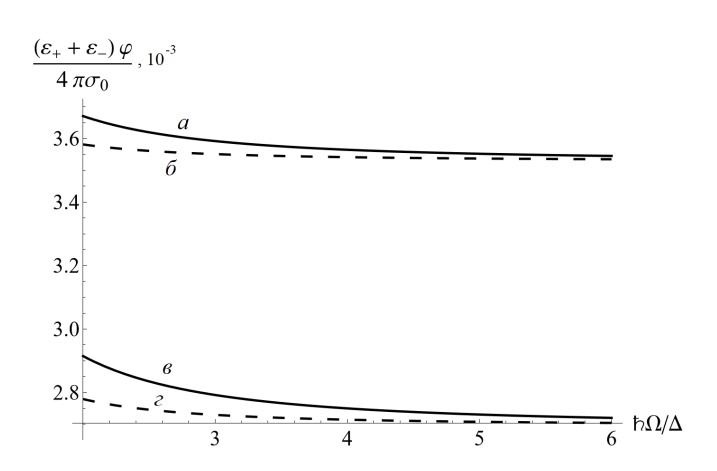


Рис. 2. Зависимости потенциала от напряженности квантующего электрического поля в безразмерных единицах при $x=0,\ y=0,\ z/d=-1,\ h/d=1$: $a-\chi d=1;\ k_x d=2;$ $k_y d=1,\ \delta-\chi d=1;\ k_x d=1;$ $k_y d=2,\ s-\chi d=2;$ $k_x d=2;$ $k_y d=1,\ s-\chi d=2;$ $k_x d=1;$ $k_y d=2$

Напомним, что вектор напряженности постоянного электрического поля ориентирован вдоль оси ОХ. В данном случае постоянная составляющая потенциала не зависит ни от величины постоянного электрического поля, ни от концентрации носителей, а определяется только параметрами пространственно — периодически распределенного заряда. В случае, когда распределение заряда задано вдоль оси ОУ $(k_x=0)$ из

(9) с использованием
$$J_0(0) = \begin{cases} 1, & \text{n=0} \\ 0, & \text{n} \neq 0 \end{cases}$$
, имеем

$$\varphi(\boldsymbol{\rho}, z) = \frac{4\pi\sigma_0 \cos(k_y y)}{(\varepsilon_+ + \varepsilon_-)} \frac{e^{-|k_y|(h-z)}}{|k_y| + \chi}, (k_y \neq 0).$$
 (12)

Сравнивая (11) и (12), видим, что проявляется разный характер экранирования пространственно — периодически распределенного заряда вдоль осей СР вследствие наличия постоянного квантующего электрического поля, выделяющего направление, вдоль которого оно приложено. В случае равномерно заряженной плоскости (k_x =0, k_y =0) из (9) для постоянной составляющей потенциала имеем

$$\varphi(\boldsymbol{\rho}, z) = \varphi_{\infty} + \frac{4\pi\sigma_0(z - h)}{(\varepsilon_+ + \varepsilon_-)},\tag{13}$$

что соответствует классическому случаю однородного электрического поля. Таким образом, однородное электрическое поле равномерно заряженной плоскости проникает беспрепятственно через 2D-электронный газ CP. Также следует отметить, что в этом случае потенциал также будет осциллировать с частотами, кратными штарковской частоте Ω .

3. ПОТЕНЦИАЛ ЗАРЯЖЕННОЙ НИТИ

Пусть теперь плотность распределения заряда задана соотношением $Q(\rho)=\lambda_0\cos(k_xx+k_yy)\delta(y-\alpha x)$, где

 λ_0 — линейная плотность заряда. При этом выражение для Фурье-образа $\tilde{Q}(\mathbf{q})$ имеет вид

$$\tilde{Q}(\mathbf{q}) = \pi \lambda_0 [\delta(q_x - k_x + \alpha(q_y - k_y)) + \delta(q_x + k_x + \alpha(q_y + k_y))]. \tag{14}$$

Произведя обратное Фурье-преобразование (6), получим формулу для распределения потенциала

$$\varphi(\boldsymbol{\rho}, z) = \frac{4\pi\lambda_0}{(\varepsilon_+ + \varepsilon_-)} \times \times \iint \tilde{Q} \frac{e^{-\sqrt{q_x^2 + q_y^2}(h - z) + iq_x x + iq_y y}}{\sqrt{q_x^2 + q_y^2}} \frac{dq_x dq_y}{(2\pi)^2} \times \times \sum_{n = -\infty}^{\infty} \frac{J_n^2(\frac{\Delta}{\Omega}\sin(\frac{q_x d}{2}))}{1 + \frac{\chi}{\sqrt{q_x^2 + q_y^2}}} (1 - \frac{|n\Omega|}{\sqrt{(n\Omega)^2 - \Delta^2 \sin^2(\frac{q_y d}{2})}}).$$
(15)

Один из интегралов легко берется по q_x , результат не приведен в силу его громоздкости. Оставшийся интеграл по q_y не выражается в табулированных функциях, поэтому его анализ производился численно. В случае, когда нить расположена вдоль оси ОХ плотность распределения заряда задана простым соотношением $Q(\rho) = \lambda_0 \cos(k_x x) \delta(y)$. Тогда формула для распределения потенциала имеет вид

$$\varphi(\boldsymbol{\rho}, z) = \frac{2\lambda_0 \cos(k_x x)}{(\varepsilon_+ + \varepsilon_-)} \int dq_y \frac{e^{-\sqrt{k_x^2 + q_y^2}(h - z) + iq_y y}}{\sqrt{k_x^2 + q_y^2}} \times \sum_{n = -\infty}^{\infty} \frac{J_n^2(\frac{\Delta}{\Omega}\sin(\frac{k_x d}{2}))}{1 + \frac{\chi}{\sqrt{k_x^2 + q_y^2}}} \left(1 - \frac{|n\Omega|}{\sqrt{(n\Omega)^2 - \Delta^2 \sin^2(\frac{q_y d}{2})}}\right).$$
(16)

На рис. 3 представлена зависимость экранированного потенциала от координаты x. Численный анализ показал, что при увеличении напряженности постоянного поля E увеличивается эффект экранирования заряженной нити.

На рис. 4 представлена зависимость безразмерного потенциала от параметра k_x . Случай равномерно заряженной нити получается из (16), положив k=0.

В случае, когда нить расположена вдоль оси ОУ, плотность распределения заряда задана простым соотношением $Q(\rho)=\lambda_0\cos(k_yy)\delta(x)$. Тогда формула для распределения потенциала имеет вид

$$\varphi(\boldsymbol{\rho}, z) = \frac{2\lambda_0 \cos(k_y y)}{(\varepsilon_+ + \varepsilon_-)} \int dq_x \frac{e^{-\sqrt{q_x^2 + k_y^2}(h - z) + iq_x x}}{\sqrt{q_x^2 + k_y^2}} \times \sum_{n = -\infty}^{\infty} \frac{J_n^2(\frac{\Delta}{\Omega}\sin(\frac{q_x d}{2}))}{1 + \frac{\chi}{\sqrt{q_x^2 + k_y^2}}} \left(1 - \frac{|n\Omega|}{\sqrt{(n\Omega)^2 - \Delta^2 \sin^2(\frac{k_y d}{2})}}\right).$$
(17)

Наиболее интересная ситуация получается при повороте нити в плоскости, параллельной плоскости 2D-электронного газа. В этом случае плотность распределения заряда удобно описывать одним из соотношений

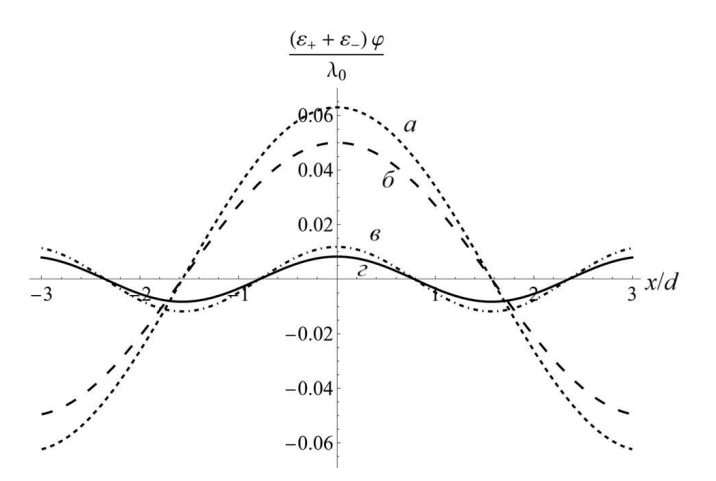


Рис. 3. Зависимость безразмерного потенциала от x при $y=0,\ h/d=1,\ z/d=-1$: а $-\hbar\Omega/\Delta=2,\ k_xd=1$; б $-\hbar\Omega/\Delta=10,\ k_xd=1$; в $-\hbar\Omega/\Delta=10,\ k_xd=2$; г $-\hbar\Omega/\Delta=2,\ k_xd=2$

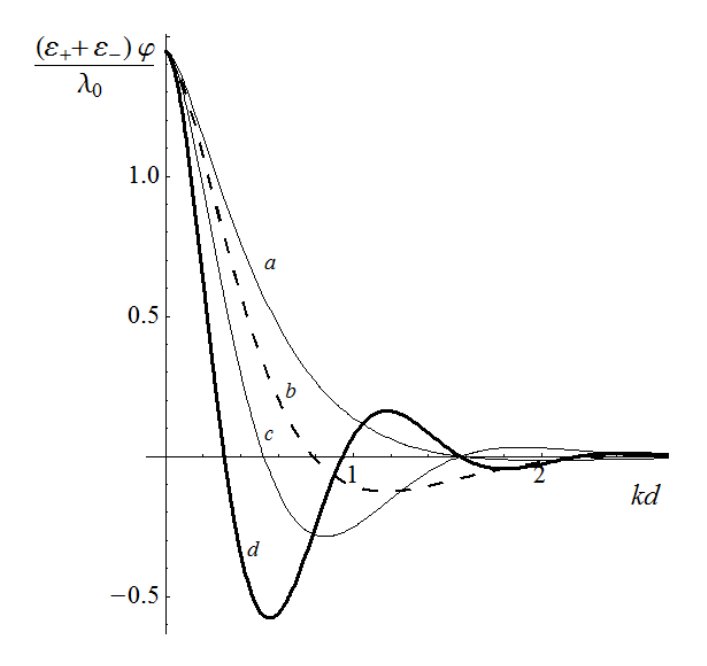


Рис. 4. Зависимость безразмерного потенциала от k_x при $y=0,\ h/d=1,\ z/d=-1,\ \hbar\Omega/\Delta=2$: a -xd=1; b -xd=2; c -xd=3; d -xd=5

 $\lambda(oldsymbol{
ho})=\lambda_0\delta(y-\alpha x),\ \lambda(oldsymbol{
ho})=\lambda_0\delta(x-y/\alpha).$ Установлено, что постоянная составляющая потенциала поля периодически заряженной нити зависит от угла поворота нити θ и является следствием анизотропности системы, обусловленной в первую очередь наличием постоянного электрического поля.

Исследование поведения экранированного потенциала от концентрации электронов в 2D газе CP показало, что при увеличении концентрации носителей в 2D CP увеличивается эффект экранирования периодически заряженных плоскости и нити.

В итоге отметим, что наличие постоянного квантующего поля приводит к усилению эффекта экранирования.

Приведем численные значения параметров задачи,

при которых выполняются сделанные выше приближения и можно ожидать проявления максимального экранирования: $\Delta\sim 10^{-2}\,$ эВ, $d\sim 10^{-6}\,$ см, $\Omega\sim 10^{13}\,$ с $^{-1}\,$ ($E\,\sim\,10^3\,$ В/см), $N\,\sim\,10^{11}\,$ см $^{-2}\,$. Для проявления штарковского квантования необходимо выполнение условия $\Omega\tau\gg 1$, где τ — среднее время свободного пробега электрона. Для экспериментального наблюдения описанных в работе эффектов требуются 2D CP, у которых $\tau>10^{-13}\,$ с.

ЗАКЛЮЧЕНИЕ

В заключение сформулируем кратко основные результаты и выводы из проделанной работы.

- 1. В присутствии постоянного электрического поля экранирующий потенциал осциллирует с частотами, кратными штарковской частоте.
- 2. Наличие постоянного квантующего поля приводит к усилению эффекта экранирования периодически заряженных плоскости и нити.
- Постоянная составляющая потенциала поля периодически заряженной плоскости и нити зависит от направления распределения заряда по этим объектам и является следствием анизотропности системы, обусловленной в первую очередь

наличием постоянного электрического поля.

4. Исследование поведения экранированного потенциала от концентрации электронов в 2D-газе СР показало, что при увеличении концентрации носителей увеличивается эффект экранирования.

Статья подготовлена по материалам Школысеминара «Волновые явления: физика и применения» («Волны-2025»).

- [1] Кукушкин И.В., Мешков С.В., Тимофеев В.Б. // УФН. **155**, № 2. 219 (1988).
- [2] Stern F. // Phys. Rev. Lett. 8, № 14. 546 (1967).
- [3] Shmelev G.M., Epshtein E.M. // J. Phys.: Condens. 1 (25). 4013 (1989).
- [4] Bryxin V.V., Firsov Yu.A. // Sol. St. Commin. 10. 471 (1972)
- [5] Grinberg, A.A. // Phys. Rev. B. 32 (12). P. 8187 (1985).
- [6] Grinberg, A.A. // J. of Appl. Phys. **62** (1). P. 195 (1987).
- [7] Зебрев Г.И. // ФТП. 26, № 9. 1550 (1992).
- [8] Jena D., Gossard A.C., Mishra U.K. // Appl. Phys. Lett. 76 (13). P. 1707 (2000).

- [9] Khaliji K., Stauber T., Low T. // Phys. Rev. B. 102 (12). 4013 (2020).
- [10] Глазов С.Ю., Крючков С.В. // Вестник ВГТУ. **3**, № 8. 144 (2007).
- [11] *Глазов С.Ю., Кубракова Е.С.* // Изв. РАН. Сер. физ. **75**, № 12. 1720 (2011).
- [12] Глазов С.Ю., Крючков С.В. // ФТП. **35**, № 4. 456 (2001).
- [13] Глазов С.Ю., Ковалев А.А., Крючков С.В. // Изв. РАН. Сер. физ. **84**, № 2. 254 (2020).

Screening of periodically charged planes and filaments by a two-dimensional superlattice under the conditions of Stark quantization

S. Yu. Glazov^a, E. I. Dudareva^b

¹Volgograd State Social and Pedagogical University Volgograd 400005, Russia E-mail: ^aser-glazov@yandex.ru, ^bbolhudere2001@mail.ru

The effect of a constant homogeneous electric field on the penetration of a field of periodically charged planes and filaments into a two-dimensional electron gas of a two-dimensional superlattice is studied. In the presence of a constant quantizing electric field, the potential oscillates with frequencies that are multiples of the Stark frequency. In the case of a non-degenerate electron gas, the amplitude of the constant component of the potential is found. PACS: 73.21. Cd.

Keywords: two-dimensional superlattice, Stark frequency, charged plane, charged filament, shielding. Received 25 July 2025.

Сведения об авторах

- 1. Глазов Сергей Юрьевич доктор физ.-мат. наук, доцент; e-mail: ser-glazov@yandex.ru.
- 2. Дударева Екатерина Ивановна e-mail: bolhudere2001@mail.ru.